

Transferts interplanétaires à faible consommation utilisant les propriétés du problème restreint des trois corps

Maxime CHUPIN

sous la direction de

Max CERF, Thomas HABERKORN, Emmanuel TRÉLAT

Soutenance de thèse

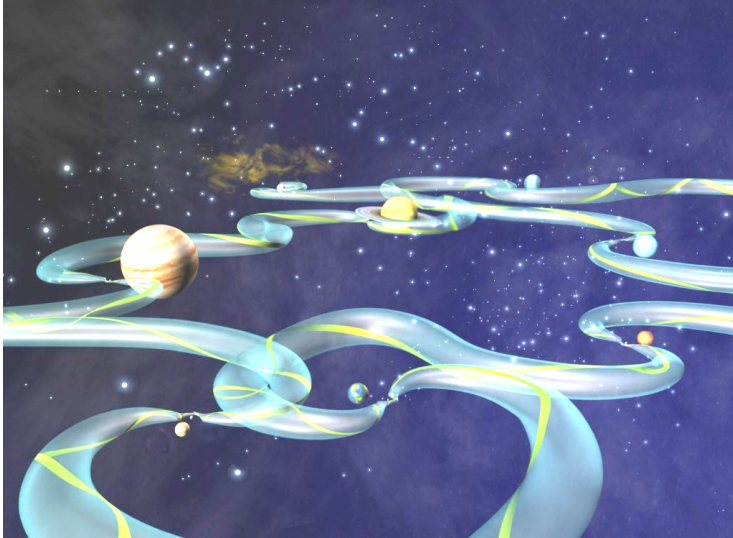
19 Octobre 2016



À la mémoire de Philippe AUGROS, grâce à qui cette thèse a été possible, et qui nous a quittés bien trop tôt.

But

NASA/Caltech



Plan de la présentation

▶ Le problème des trois corps (circulaire restreint)

Orbites de Lyapunov/Halo — Les variétés invariantes — Construction de missions spatiales

▶ Transfert en poussée faible entre deux variétés

Modélisation du problème — Problème de contrôle optimal — Méthodes indirectes — Méthodes de continuation — Algorithme

▶ Missions entre orbites autour des points de Lagrange

La mission Lyapunov vers Lyapunov — Initialisation d'un tir multiple — Mission entre orbites d'énergies différentes

Problème des 3 corps

- ▶ Un satellite P de masse m **négligeable**
- ▶ 2 **primaires** P_1 et P_2 en rotation **circulaire** autour de leur centre de masse
- ▶ Leurs masses respectives : M_1 et M_2

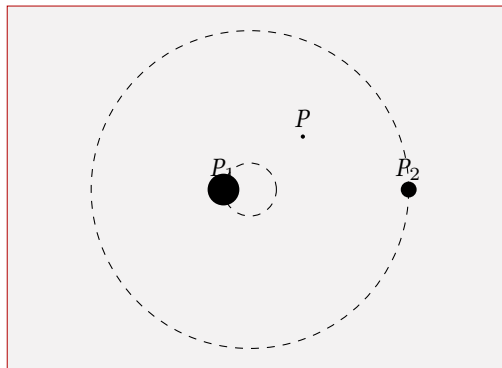
$$m \frac{d^2 \mathbf{R}}{dt^2} = -GM_1 m \frac{\mathbf{R}_{13}}{R_{13}^3} - GM_2 m \frac{\mathbf{R}_{23}}{R_{23}^3}$$

- ▶ Normalisation du système :

$$\begin{array}{ll} \text{distance} & d' = l_* d \\ \text{temps} & t' = \frac{t_*}{2\pi} t \\ \text{vitesse} & s' = v_* s \end{array}$$

- ▶ Le **paramètre de masse** :

$$\mu = \frac{M_2}{M_1 + M_2}$$



- ▶ Système de coordonnées tournant dans lequel les deux primaires sont fixes (le long de l'axe (Ox))
- ▶ Problème **circulaire restreint** des trois corps (CR3BP)

Système dynamique



Dynamique

$$\begin{cases} \dot{x}_1 = x_4 \\ \dot{x}_2 = x_5 \\ \dot{x}_3 = x_6 \\ \dot{x}_4 = x_1 + 2x_5 - (1 - \mu) \frac{x_1 + \mu}{r_{13}^3} - \mu \frac{x_1 - 1 + \mu}{r_{23}^3} \\ \dot{x}_5 = x_2 - 2x_4 - (1 - \mu) \frac{x_2}{r_{13}^3} - \mu \frac{x_2}{r_{23}^3} \\ \dot{x}_6 = -(1 - \mu) \frac{x_3}{r_{13}^3} - \mu \frac{x_3}{r_{23}^3} \end{cases}$$

► **État :**

$$\xi = (x, y, z, \dot{x}, \dot{y}, \dot{z})^T = (x_1, x_2, x_3, x_4, x_5, x_6)^T$$

et

$$r_{13} = \sqrt{(x_1 - x_1^0)^2 + x_2^2 + x_3^2} \quad \text{et} \quad r_{23} = \sqrt{(x_1 - x_2^0)^2 + x_2^2 + x_3^2}$$

les distances respectives entre le satellite P et les primaires P_1 et P_2

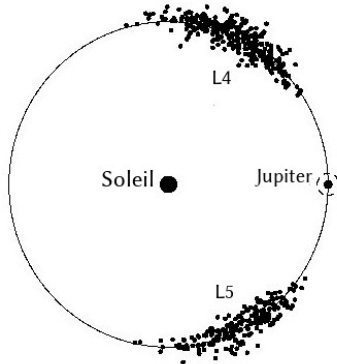
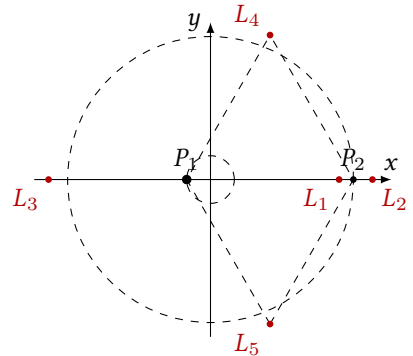
► Système **hamiltonien**, avec son potentiel noté U ► Notation : $\dot{\xi} = F_0(\xi)$

Points de LAGRANGE

► Cinq points d'équilibre appelés points de LAGRANGE

► Points colinéaires : L_1, L_2 et L_3

► Points équilatéraux : L_4 et L_5



► Stabilité étudiée par linéarisation

► L_1, L_2 et L_3 sont instables

► La stabilité de L_4 et L_5 dépend du système

► [Szebehely 67]

Orbites périodiques

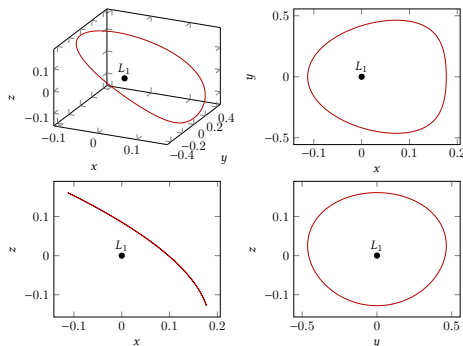


Théorème de LYAPUNOV-POINCARÉ

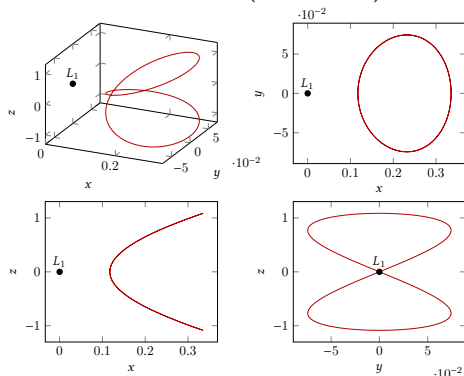
Soit $\dot{x} = H(x)$ un système hamiltonien de \mathbb{R}^{2n} , x_0 une position d'équilibre identifiée à 0, et $A = \partial_x H(0)$ la matrice du système linéarisé. On suppose que le spectre de A est de la forme $\sigma(A) = \{\pm i\omega, \lambda_3, \dots, \lambda_{2n}\}$, où $\omega > 0$.

Si $\lambda_j/i\omega \notin \mathbb{Z}$ pour un $j \in \llbracket 3, 2n \rrbracket$, alors il existe une famille d'orbites périodiques issues de 0 à un paramètre. De plus en tendant vers 0, les périodes convergent vers $2\pi/\omega$ et les exposants caractéristiques vers $\exp(2\pi\lambda_j/\omega)$, $j \in \llbracket 3, 2n \rrbracket$.

orbite de HALO (Soleil-Terre)

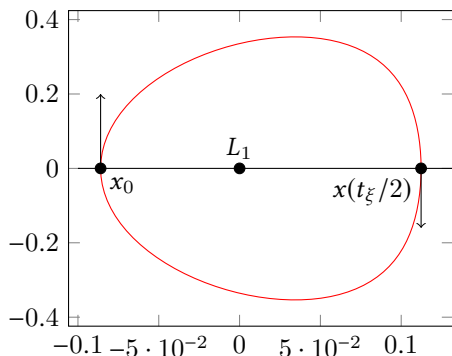


orbite en huit (Terre-Lune)



Orbites de LYAPUNOV

- ▶ Symétrie de la dynamique
- ▶ Fonction de tir
- ▶ **Algorithme de NEWTON**
- ▶ Initialisé par une approximation analytique ([Richardson 80], [Gomez *et al.* 91], [Archangeau *et al.* 11], etc.)



- ▶ Il existe un t_ξ tels que :

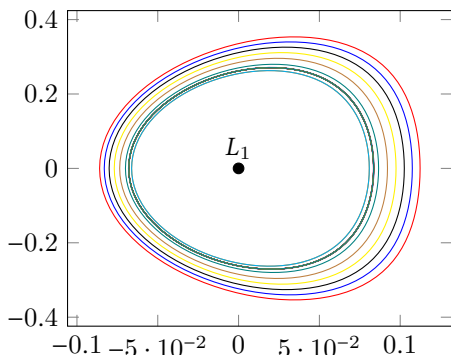
$$\begin{cases} x(0) = x_0, \\ y(0) = 0, \\ \dot{x}(0) = 0, \\ \dot{y}(0) = \dot{y}_0, \end{cases} \quad \text{et} \quad \begin{cases} x(t_\xi/2) = x_1, \\ y(t_\xi/2) = 0, \\ \dot{x}(t_\xi/2) = 0, \\ \dot{y}(t_\xi/2) = \dot{y}_1. \end{cases}$$

- ▶ On fixe x_0 , on définit la **fonction de tir** :

$$\implies S_L(t_\xi, \dot{y}_0) = \begin{pmatrix} \phi_2(t_\xi/2, \xi_0) \\ \phi_3(t_\xi/2, \xi_0) \end{pmatrix} = \begin{pmatrix} 0 \\ 0 \end{pmatrix}, \text{ où } \xi_0 = (x_0, 0, 0, \dot{y}_0).$$

Famille d'orbites de LYAPUNOV

- ▶ **Méthode de continuation** : une famille de problèmes \mathcal{P}_λ , telle que \mathcal{P}_0 est facile à résoudre, et \mathcal{P}_1 est le problème qu'on cherche à résoudre
- ▶ Discrétisation de λ , initialisation de \mathcal{P}_{λ_i} avec la solution de $\mathcal{P}_{\lambda_{i-1}}$
- ▶ On a une orbite d'une certaine énergie \mathcal{E}_0 et on veut une orbite d'énergie \mathcal{E}_1



▶ Continuation :

On définit $\mathcal{E}(\xi_0)$ l'énergie de la trajectoire libre passant par $\xi_0 = (x_0, 0, 0, \dot{y}_0)$ et

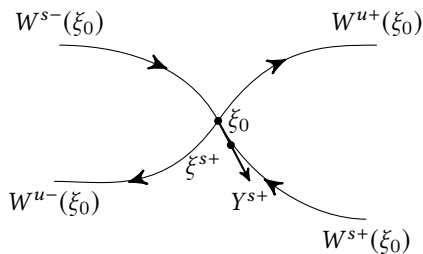
$$\mathcal{E}_\lambda = (1 - \lambda)\mathcal{E}_0 + \lambda\mathcal{E}_1$$

On cherche (t_ξ, x_0, \dot{y}_0) tel que

$$\mathcal{P}_\lambda^\mathcal{E} : \mathcal{S}_\mathcal{E}^\lambda(t_\xi, x_0, \dot{y}_0) = \begin{pmatrix} \phi_2(t_\xi/2, \xi_0) \\ \phi_3(t_\xi/2, \xi_0) \\ \mathcal{E}(\xi_0) - \mathcal{E}_\lambda \end{pmatrix} = \begin{pmatrix} 0 \\ 0 \\ 0 \end{pmatrix}.$$

Variétés invariantes

► **Définition** : Une variété invariante *stable* (resp. *instable*) d'une orbite périodique est l'ensemble des points de l'espace des phases dont les semi-orbites futures (resp. passées) *convergent* vers l'orbite périodique (asymptotiquement). [Koon *et al.*, 06]



► $\bar{\xi}(\cdot)$ solution périodique de période T

► La matrice de monodromie M au point $\bar{\xi}_0$: $M = \frac{\partial \phi(T; \bar{\xi}_0)}{\partial \xi_0}$, valeurs propres :

$$\lambda_1 > 1, \lambda_2 = \frac{1}{\lambda_1}, \lambda_3 = \lambda_4 = 1, \lambda_5 = \bar{\lambda}_6$$

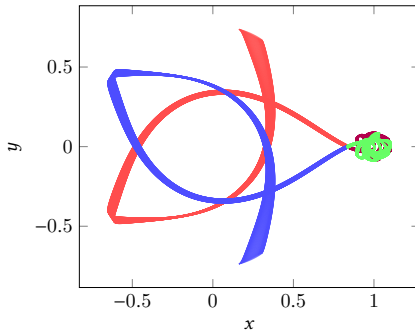
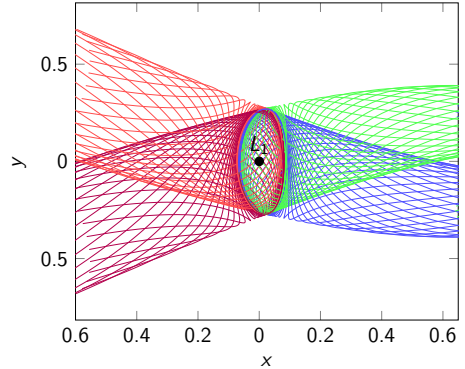
► **Approximation linéaire**, $\alpha > 0$, intègre en temps futur et passé le point perturbé de l'orbite :

$$\xi^{s\pm}(\xi_0) = \xi_0 \pm \alpha Y^s(\xi_0), \quad Y^s(\xi_0) \text{ vecteur propre stable}$$

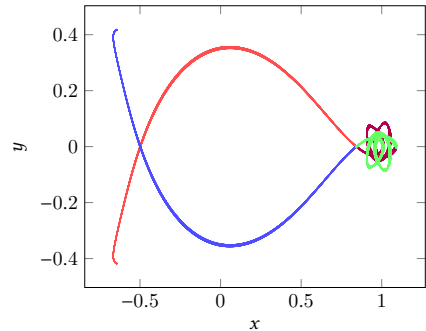
$$\xi^{u\pm}(\xi_0) = \xi_0 \pm \alpha Y^u(\xi_0), \quad Y^u(\xi_0) \text{ vecteur propre instable}$$

Variétés invariantes

- ▶ Séparatrices de la dynamique
- ▶ Courants gravitationnels
- ▶ Code FORTRAN pour Airbus Safran Launchers



orbite de LYAPUNOV – Soleil-Terre



orbite en huit – Terre-Lune

Plan de la présentation

► Le problème des trois corps (circulaire restreint)

Orbites de Lyapunov/Halo — Les variétés invariantes — Construction de missions spatiales

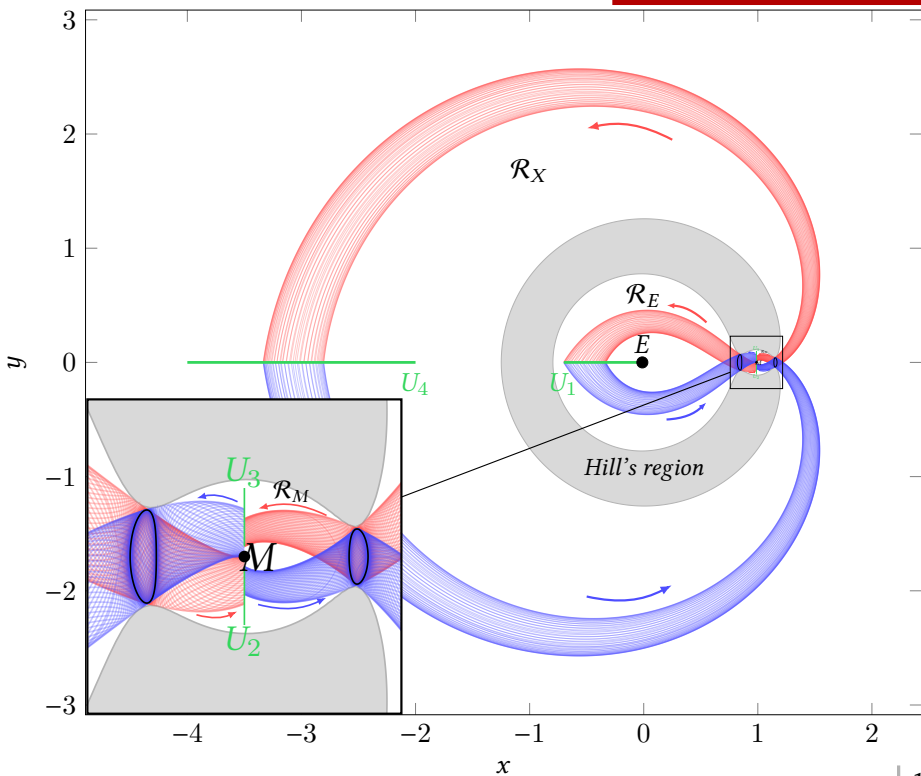
► Transfert en poussée faible entre deux variétés

Modélisation du problème — Problème de contrôle optimal — Méthodes indirectes — Méthodes de continuation — Algorithme

► Missions entre orbites autour des points de Lagrange

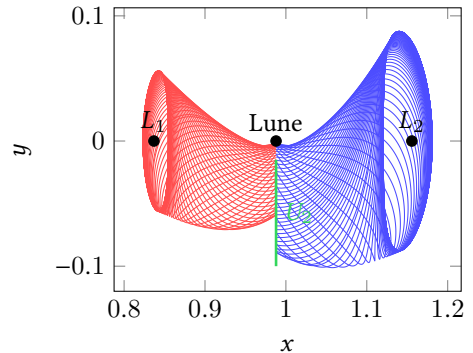
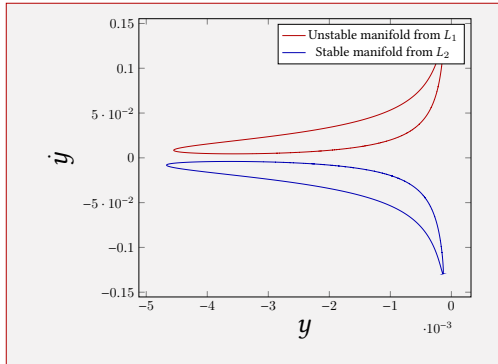
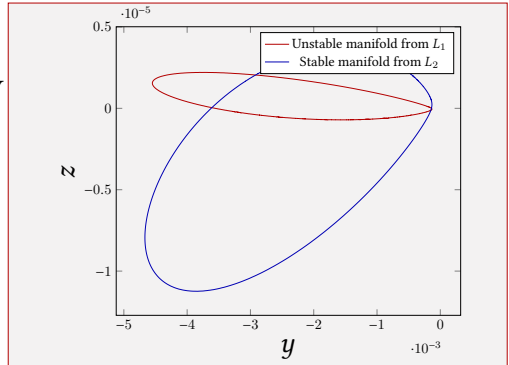
La mission Lyapunov vers Lyapunov — Initialisation d'un tir multiple — Mission entre orbites d'énergies différentes

Système Terre-Lune



Transfert impulsif

- ▶ Intersection entre deux variétés
- ▶ Intersection en espace qui minimise le ΔV
- ▶ Réalisable avec un moteur dit à poussée forte : fournit le ΔV
- ▶ [Koon *et al* 06]



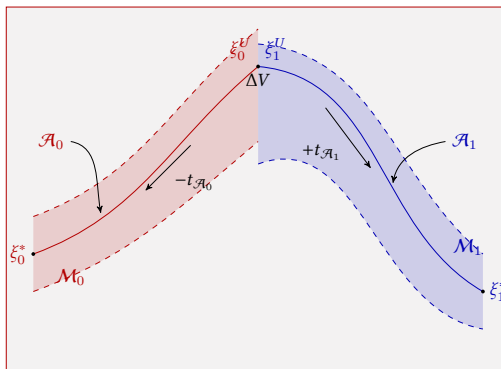
- Dynamique contrôlée :

$$\begin{cases} \dot{x} = F_0(x) + \frac{\epsilon}{m} \sum_{i=1}^3 u_i F_i(x), \\ \dot{m} = -\beta_* \epsilon \|u\|, \end{cases} \quad F_1 = \begin{pmatrix} 0 \\ 0 \\ 0 \\ 1 \\ 0 \\ 0 \end{pmatrix} \quad F_2 = \begin{pmatrix} 0 \\ 0 \\ 0 \\ 0 \\ 1 \\ 0 \end{pmatrix} \quad \text{et} \quad F_3 = \begin{pmatrix} 0 \\ 0 \\ 0 \\ 0 \\ 0 \\ 1 \end{pmatrix},$$

où $u(\cdot) \in \mathbb{R}^3$, $\|u\| \leq 1$, ϵ est la **poussée maximale**, β_* est une constante modélisant la poussée du moteur

- La contrôlabilité restreinte à un ensemble d'énergies (entre celle de L_1 et L_2) est démontrée (arguments géométriques) [Caillau, Daoud, 12]
- Bonne intuition quant à la contrôlabilité sur le CR3BP complet

Le problème



► Construction d'un problème de contrôle optimal à partir du transfert impulsif

► $t_f = t_{\mathcal{A}_0} + t_{\mathcal{A}_1}$

► $\xi_0^* = \phi^{\text{nat}}(-t_{\mathcal{A}_0}, \xi_0^U)$

► $\xi_1^* = \phi^{\text{nat}}(t_{\mathcal{A}_1}, \xi_1^U)$

► \mathcal{A}_0 et \mathcal{A}_1 : trajectoires libres

$$\mathcal{P}_{m_f} \left\{ \begin{array}{l} C_{m_f}(u) = \max m(t_f) \Leftrightarrow \min \int_0^{t_f} \|u\| dt, \\ \dot{x} = F_0(x) + \frac{\epsilon}{m} \sum_{i=1}^3 u_i F_i(x), \\ \dot{m} = -\beta_* \epsilon \|u\|, \\ \|u\| \leq 1, \\ x(0) = \xi_0^*, m(0) = m_0^*, \text{ et } x(t_f) = \xi_1^* \end{array} \right.$$

Théorie du contrôle optimal

► Le **principe du maximum de Pontryagin** donne une condition nécessaire d'optimalité

► État adjoint $(p^0, p, p_m) = (p^0, p_x, p_v, p_m)$

► Hamiltonien $(H_i = \langle F_i(x), p \rangle)$

$$\mathcal{H}(x, m, u, p^0, p, p_m) = (p^0 - \beta_* \epsilon p_m) \|u\| + H_0 + u_1 \frac{\epsilon}{m} H_1 + u_2 \frac{\epsilon}{m} H_2 + u_3 \frac{\epsilon}{m} H_3,$$

► $\dot{x} = \frac{\partial \mathcal{H}}{\partial p}(x, u, p), \quad \dot{p} = -\frac{\partial \mathcal{H}}{\partial x}(x, u, p), \quad u(t) = \operatorname{argmax}_{\|v\| \leq 1} \mathcal{H}(x, m, v, p^0, p, p_m)$

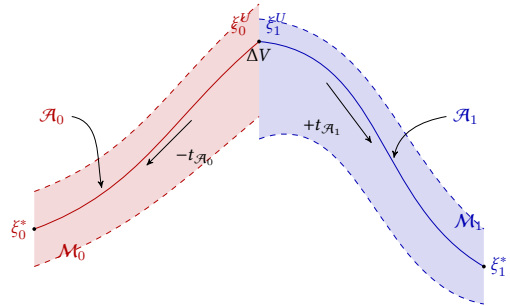
► Structure du contrôle, **cas normal** : $p^0 = -1$

► Fonction de commutation : $\psi(x, m, p, p_m) = 1 - \beta_* \epsilon p_m - \frac{\epsilon}{m} \|p_v\|$

► Le contrôle est alors **bang-bang** : 0 ou $\frac{p_p}{\|p_v\|}$

Fonction de tir

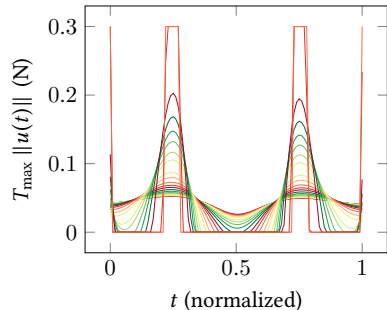
- ▶ u fonction de (x, m, p, p_m) . PMP → écriture du problème en **fonction de tir**
- ▶ Conditions de transversalités : $p_m(t_f) = 0$
- ▶ $(p(0), p_m(0)) ?$
- ▶ Résolution numérique par **méthode indirecte**



$$\mathcal{P}_{L^1} \left\{ \begin{array}{l} C_{m_f}(u) = \int_0^{t_f} \|u\| dt \rightarrow \min, \\ \dot{x} = F_0(x) + \frac{\epsilon}{m} \sum_{i=1}^3 u_i F_i(x), \\ \dot{m} = -\beta_* \epsilon \|u\|, \\ \|u\| \leq 1, \\ x(0) = \xi_0^*, m(0) = m_0^*, \\ \text{et } x(t_f) = \xi_1^* \end{array} \right. \Rightarrow \begin{array}{l} S(p(0), p_m(0)) = \\ \left(\begin{array}{l} \phi_{1, \dots, 6}^{\text{ext}}(t_f, \xi_0^*, m_0^*, p(0), p_m(0)) - \xi_1^* \\ \phi_{14}^{\text{ext}}(t_f, \xi_0^*, m_0^*, p(0), p_m(0)) \end{array} \right) \end{array}$$

Continuation sur le coût

- ▶ Contrôle bang-bang : difficultés numériques
- ▶ Minimisation de la norme L^2 du contrôle : contrôle **continu**
- ▶ Résoudre d'abord le problème avec la norme L^2

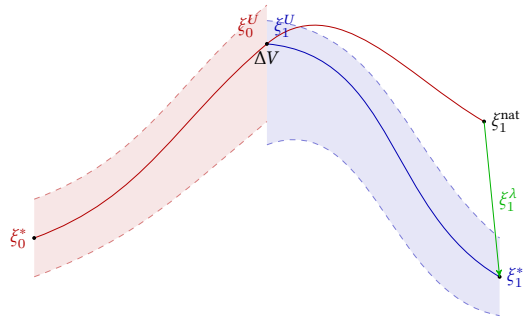


$$\mathcal{P}_{C_\lambda} \left\{ \begin{array}{l} C_\lambda(u) = \int_0^{t_f} \left((1-\lambda) \|u\|^2 + \lambda \|u\| \right) dt \rightarrow \min, \\ \dot{x} = F_0(x) + \frac{\epsilon}{m} \sum_{i=1}^3 u_i F_i(x), \\ \dot{m} = -\beta_* \epsilon \|u\|, \\ \|u\| \leq 1, \\ x(0) = \xi_0^*, m(0) = m_0^*, \text{ et } x(t_f) = \xi_1^* \end{array} \right.$$

Continuation sur l'état final

- ▶ Minimisation de la norme L^2 du contrôle
- ▶ Propagation de ξ_0^* pendant t_f en suivant la dynamique naturelle

$$\xi_1^{\text{nat}} = \phi^{\text{nat}}(t_f, \xi_0^*)$$



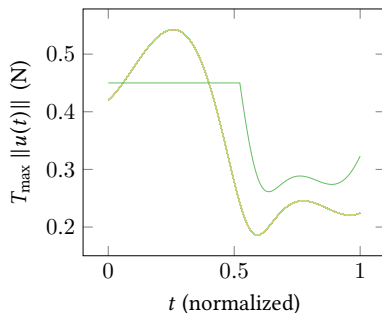
$$\mathcal{P}_{\text{FS}}^\lambda \begin{cases} C_{L^2}(u) = \int_0^{t_f} \|u\|^2 dt \rightarrow \min, \\ \dot{x} = F_0(x) + \frac{\epsilon}{m} \sum_{i=1}^3 u_i F_i(x), \\ \dot{m} = -\beta_* \epsilon \|u\|, \\ \|u\| \leq 1, \\ x(0) = \xi_0^*, m(0) = m_0^*, \\ \text{et } x(t_f) = (1 - \lambda)\xi_1^{\text{nat}} + \lambda\xi_1^* \end{cases} \Rightarrow \begin{pmatrix} S_{\text{FS}}^\lambda(p(0), p_m(0)) = \\ \left(\begin{array}{l} \phi_{1,\dots,6}^{\text{ext}}(t_f, \xi_0^*, m_0^*, p(0), p_m(0)) - \xi_1^\lambda \\ \phi_{14}^{\text{ext}}(t_f, \xi_0^*, m_0^*, p(0), p_m(0)) \end{array} \right) \end{pmatrix}$$

Continuation sur la poussée maximale

- ▶ Augmentation du cône d'accessibilité
- ▶ Augmentation de la région de convergence du NEWTON
- ▶ Poussée maximale

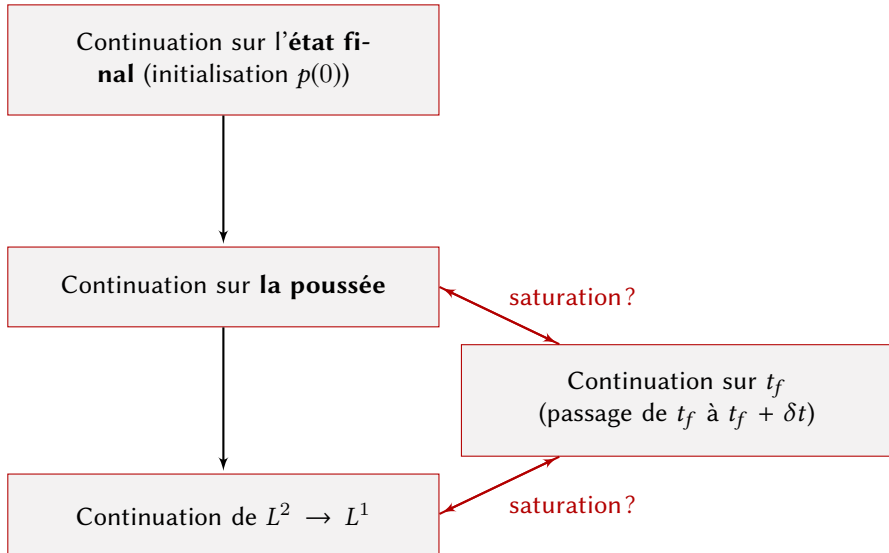
$$\epsilon_\lambda = (1 - \lambda)\epsilon_{\text{init}} + \lambda\epsilon_{\text{obj}}$$

- ▶ Par exemple : $\epsilon_{\text{obj}} = 0.45 \text{ N}$ et $\epsilon_{\text{init}} = 60 \text{ N}$

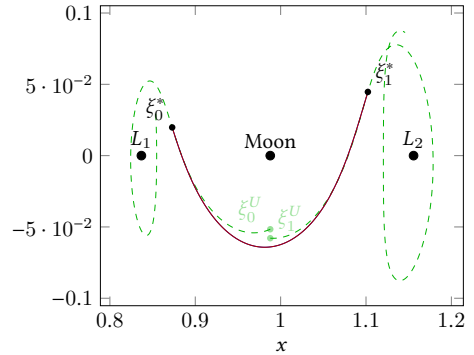
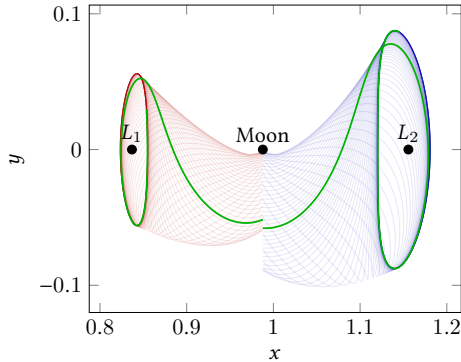


$$\mathcal{P}_{\text{thrust}}^\lambda \left\{ \begin{array}{l} C_{L^2}(u) = \int_0^{t_f} \|u\|^2 dt \rightarrow \min, \\ \dot{x} = F_0(x) + \frac{\epsilon_\lambda}{m} \sum_{i=1}^3 u_i F_i(x), \\ \dot{m} = -\beta_* \epsilon_\lambda \|u\|, \\ \|u\| \leq 1, \\ x(0) = \xi_0^*, m(0) = m_0^*, \text{ et } x(t_f) = \xi_1^* \end{array} \right.$$

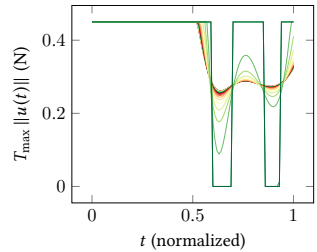
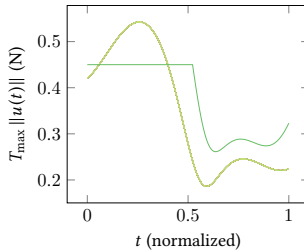
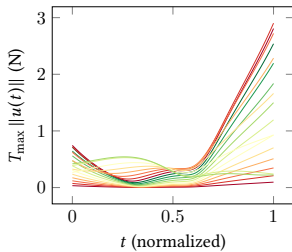
Algorithme (simplifié)



Application Terre-Lune



► Calcul total en 13 s, masse initiale 1500 kg, masse finale 1492,885 kg

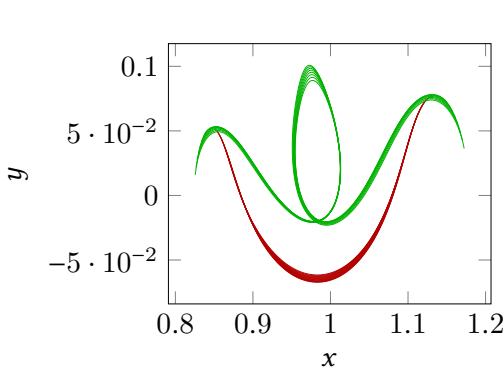


Paramètre de temps t_f

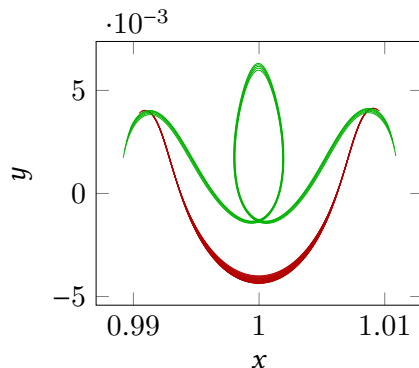
- ▶ Minimisation de la consommation $\Rightarrow t_f$ fixé
- ▶ Paramètre de temps crucial
- ▶ Étude numérique (à poussée maximale fixée) de ce paramètre : choix de $t_f = t_{\mathcal{A}_0} + t_{\mathcal{A}_1}$

En temps « long »

- ▶ Bifurcation après un intervalle de temps où l'algorithme échoue



Terre-Lune



Soleil-Terre

Paramètre de temps t_f

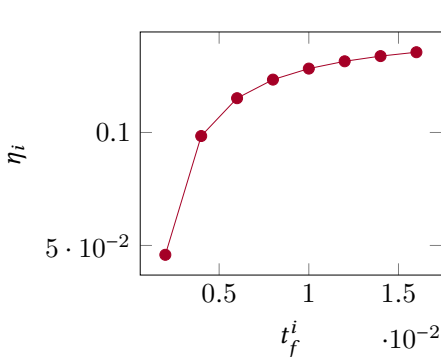
En temps « court »

- Convergence vers le transfert impulsionnel?

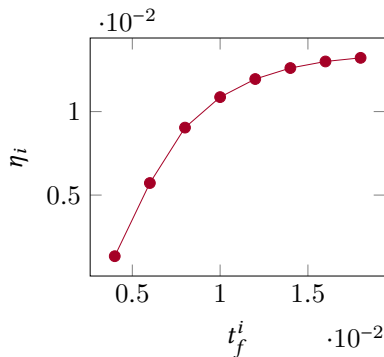
$$\eta_i = \left\| \int_0^{t_f^i} \epsilon_* \frac{\|u(t)\|}{m(t)} dt - \Delta V \right\|,$$

où ΔV est défini par

$$\Delta V = \|v_0^U - v_1^U\|$$



Terre-Lune



Soleil-Terre

Plan de la présentation

► **Le problème des trois corps (circulaire restreint)**

Orbites de Lyapunov/Halo — Les variétés invariantes — Construction de missions spatiales

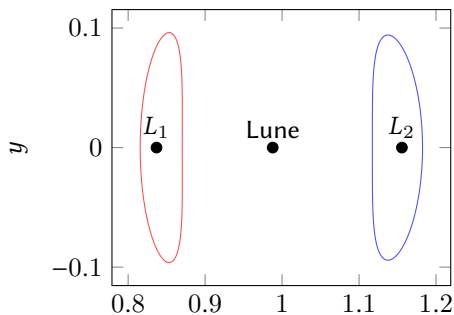
► **Transfert en poussée faible entre deux variétés**

Modélisation du problème — Problème de contrôle optimal — Méthodes indirectes — Méthodes de continuation — Algorithme

► **Missions entre orbites autour des points de Lagrange**

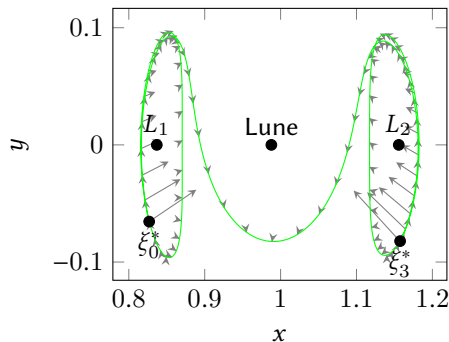
La mission Lyapunov vers Lyapunov — Initialisation d'un tir multiple — Mission entre orbites d'énergies différentes

LYAPUNOV vers LYAPUNOV

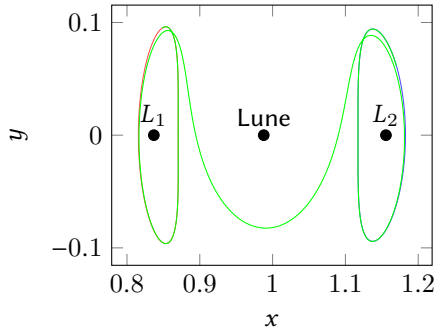
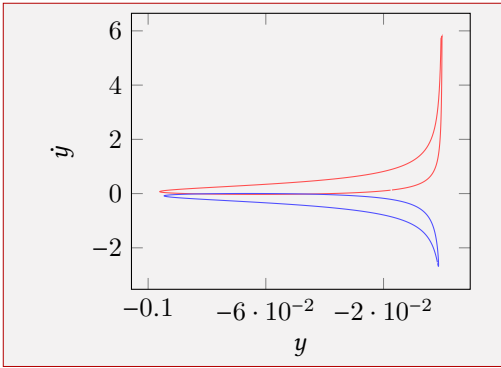
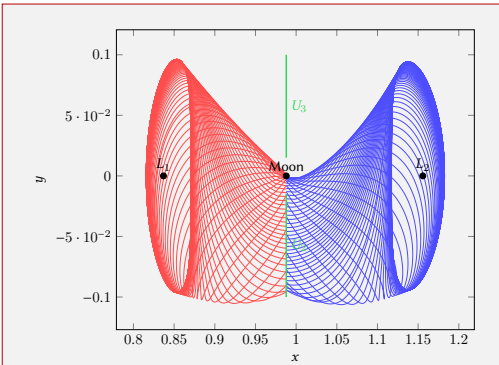
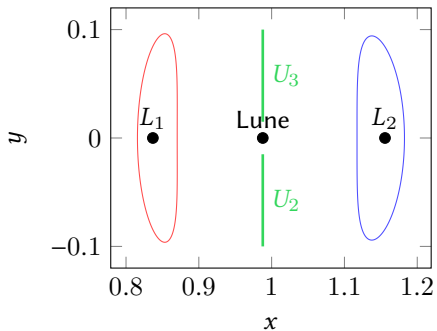


$$\mathcal{P}_g \begin{cases} C_g = \int_0^{t_f} \|u\|^2 dt \rightarrow \min, \\ \dot{x} = F_0(x) + \frac{\epsilon}{m} \sum_{i=1}^2 u_i F_i(x), \\ \dot{m} = -\beta_* \epsilon \|u\|, \\ \|u\| \leq 1, \\ x(0) \in \text{Lya}_1, \text{ et } x(t_f) \in \text{Lya}_2, \\ m(0) = m_0 \end{cases}$$

- ▶ Construction d'une **trajectoire admissible** en trois bouts
- ▶ Initialiser **un tir multiple**
- ▶ Mission similaire dans [Épenoy 16]

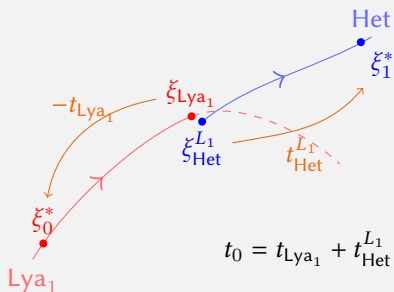


Orbite hétérocline



Transfert Lya_1 vers Het

Problème plus simple



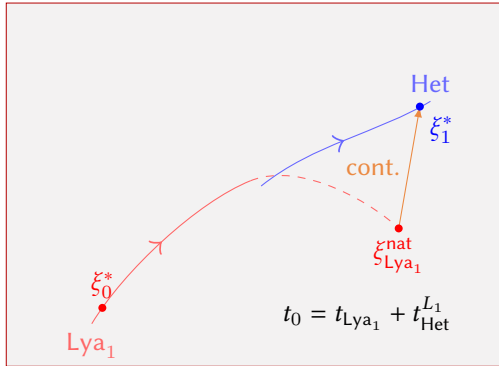
$$\mathcal{P}_{L_1} \begin{cases} \min \int_0^{t_0} \|u\|^2 dt, \\ \dot{x} = F_0(x) + \frac{\epsilon}{m} \sum_{i=1}^2 u_i F_i(x), \\ \dot{m} = -\beta_* \epsilon \|u\|, \\ \|u\| \leq 1, \\ x(0) = \xi_0^*, \quad m(0) = m_0^*, \\ x(t_0) = \xi_1^* \end{cases}$$

- ▶ Positions de départ et d'arrivée fixes
- ▶ Paramètres t_{Lya_1} et t_{Het}^{L1}
- ▶ Poussée maximale ϵ choisie « assez forte » (60N)

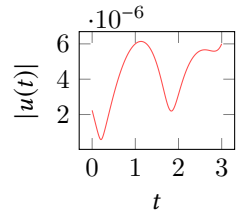
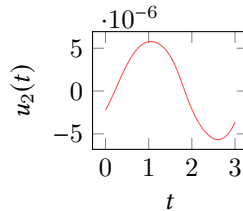
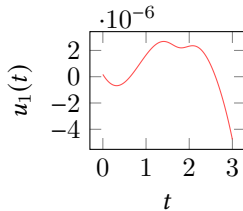
Fonction de tir

$$S_{L_1}(p(0), p_m(0)) = \left(\begin{array}{c} \phi_{1, \dots, 4}^{\text{ext}}(t_0, \xi_0^*, m_0^*, p(0), p_m(0)) - \xi_1^* \\ \phi_{10}^{\text{ext}}(t_0, \xi_0^*, m_0^*, p(0), p_m(0)) \end{array} \right)$$

Transfert Lya_1 vers Het

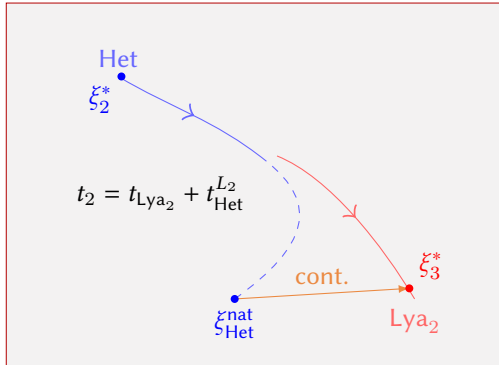


$$\mathcal{P}_{L_1}^\lambda \left\{ \begin{array}{l} \min \int_0^{t_0} \|u\|^2 dt, \\ \dot{x} = F_0(x) + \frac{\epsilon}{m} \sum_{i=1}^2 u_i F_i(x), \\ \dot{m} = -\beta_* \epsilon \|u\|, \\ \|u\| \leq 1, \\ x(0) = \xi_0^*, \quad m(0) = m_0^*, \\ x(t_0) = \xi_1^\lambda = (1 - \lambda) \xi_{Lya_1}^{nat} + \lambda \xi_1^* \end{array} \right.$$

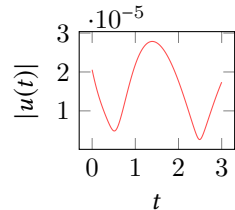
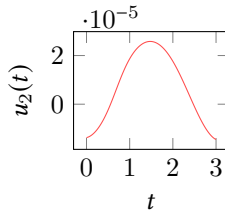
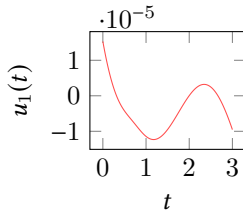


Transfert	Itérations	Coût	$\epsilon \leftrightarrow T_{\max}$	Tps calc.
L_1	21	$6.309\,67 \times 10^{-11}$	60 N	2.821 s

Transfert Het vers Lya_2

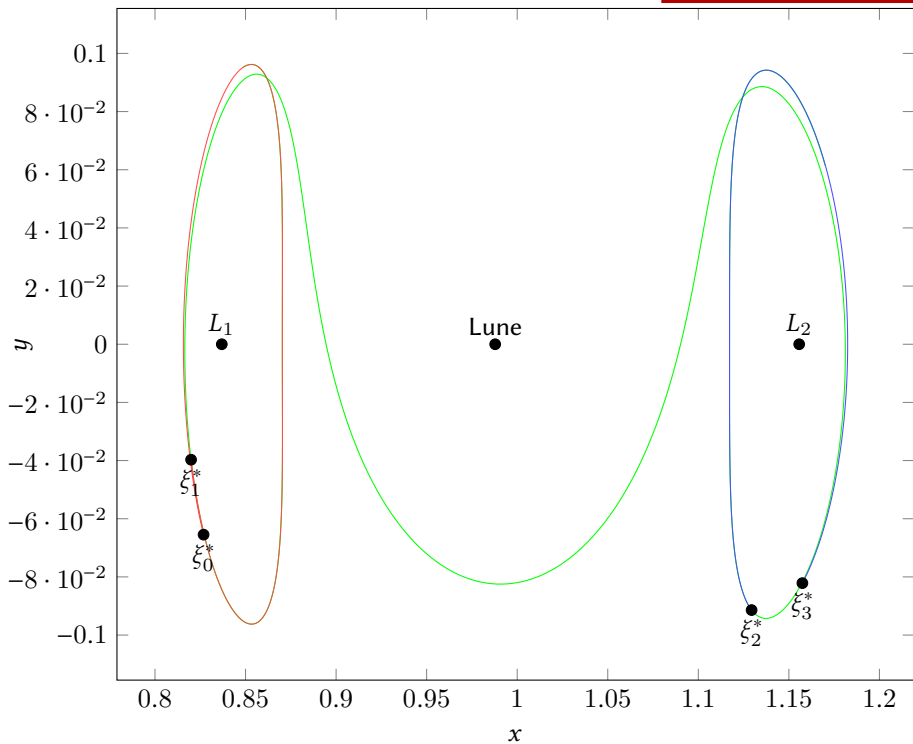


$$\mathcal{P}_{L_2}^\lambda \left\{ \begin{array}{l} \min \int_0^{t_2} \|u\|^2 dt, \\ \dot{x} = F_0(x) + \frac{\epsilon}{m} \sum_{i=1}^2 u_i F_i(x), \\ \dot{m} = -\beta_* \epsilon \|u\|, \\ \|u\| \leq 1, \\ x(0) = \xi_2^*, \quad m(0) = m_2^*, \\ x(t_0) = \xi_3^\lambda = (1 - \lambda) \xi_{Het}^{\text{nat}} + \lambda \xi_3^*. \end{array} \right.$$



Transfert	Itérations	Coût	$\epsilon \leftrightarrow T_{\max}$	Tps calc.
L_2	19	$9.061\,24 \times 10^{-10}$	60 N	1.439 s

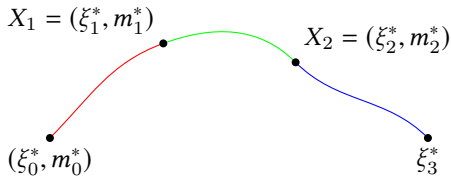
Trajectoire admissible



Tir multiple

► $t_{\text{tot}} = t_0 + t_1 + t_2$

$$\mathcal{P}_{\text{tot}} \begin{cases} C_{\text{tot}} = \min \int_0^{t_{\text{tot}}} \|u\|^2 dt, \\ \dot{x} = F_0(x) + \frac{\epsilon}{m} \sum_{i=1}^2 u_i F_i(x), \\ \dot{m} = -\beta_* \epsilon \|u\|, \\ \|u\| \leq 1, \\ x(0) = \xi_0^* \in \text{Lya}_1, \quad m(0) = m_0^*, \\ x(t_{\text{tot}}) = \xi_3^* \in \text{Lya}_2 \end{cases}$$



► États adjoints initialisés avec les calculs précédents et $(p_1^*, p_m^{1*}) = 0$

► Fonction de tir :

$$\mathcal{S}_{\text{tot}}(p(0), p_m(0)) = \begin{pmatrix} \phi_{1,\dots,4}^{\text{ext}}(t_{\text{tot}}, \xi_0^*, m_0^*, p(0), p_m(0)) - \xi_3^* \\ \phi_{10}^{\text{ext}}(t_{\text{tot}}, \xi_0^*, m_0^*, p(0), p_m(0)) \end{pmatrix}$$

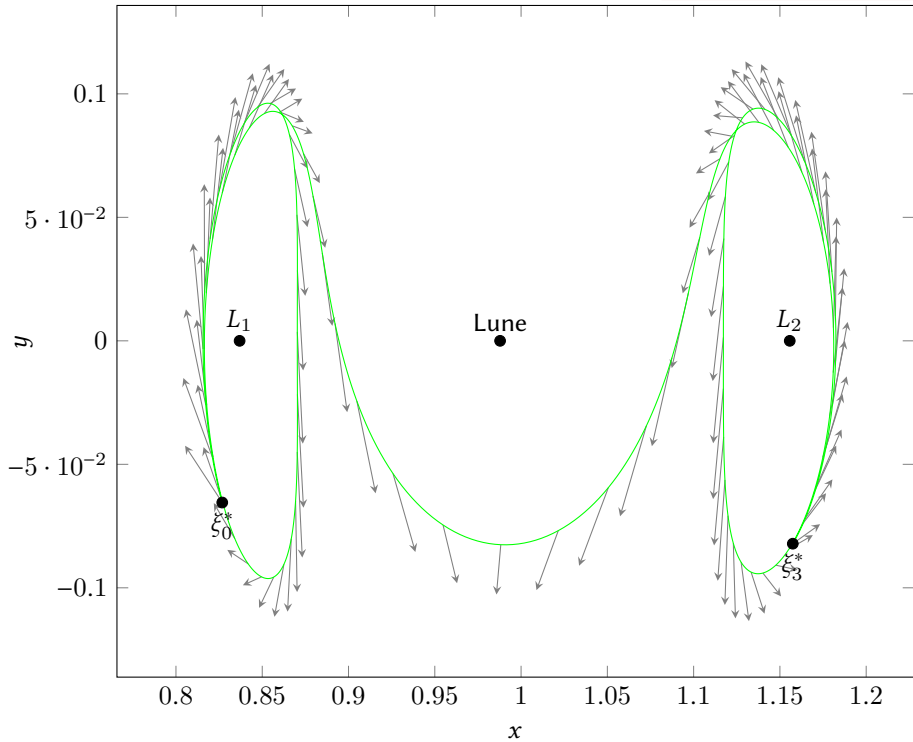
► Initialisation ?

► **Nœuds** sur l'hétérocline (ξ_1^*, ξ_2^*)

► Fonction de tir multiple :

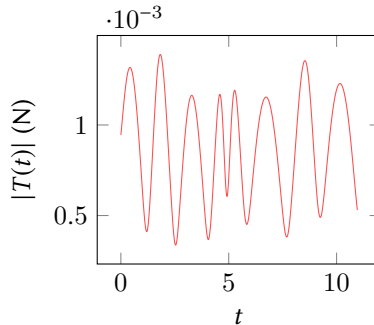
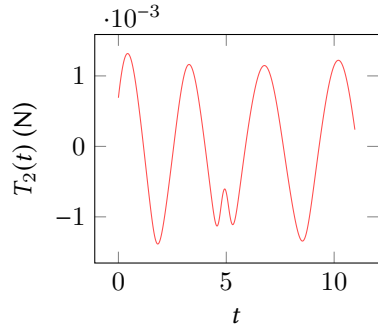
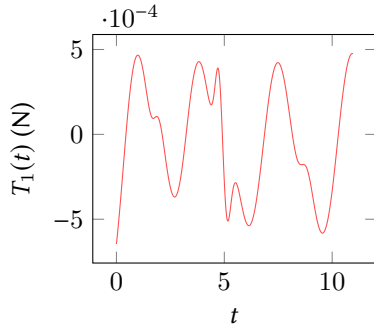
$$\mathcal{S}_{\text{multi}}(Z) = \begin{pmatrix} \phi_{1,\dots,5}^{\text{ext}}(t_0, \xi_0^*, m_0^*, P_0) - X_1 \\ \phi_{6,\dots,10}^{\text{ext}}(t_0, \xi_0^*, m_0^*, P_0) - P_1 \\ \phi_{1,\dots,5}^{\text{ext}}(t_1, X_1, P_1) - X_2 \\ \phi_{6,\dots,10}^{\text{ext}}(t_1, X_1, P_1) - P_2 \\ \phi_{1,\dots,4}^{\text{ext}}(t_2, X_2, P_2) - \xi_3^* \\ \phi_{10}^{\text{ext}}(t_2, X_2, P_2) \end{pmatrix}.$$

Trajectoire en un bout



Contrôle associé

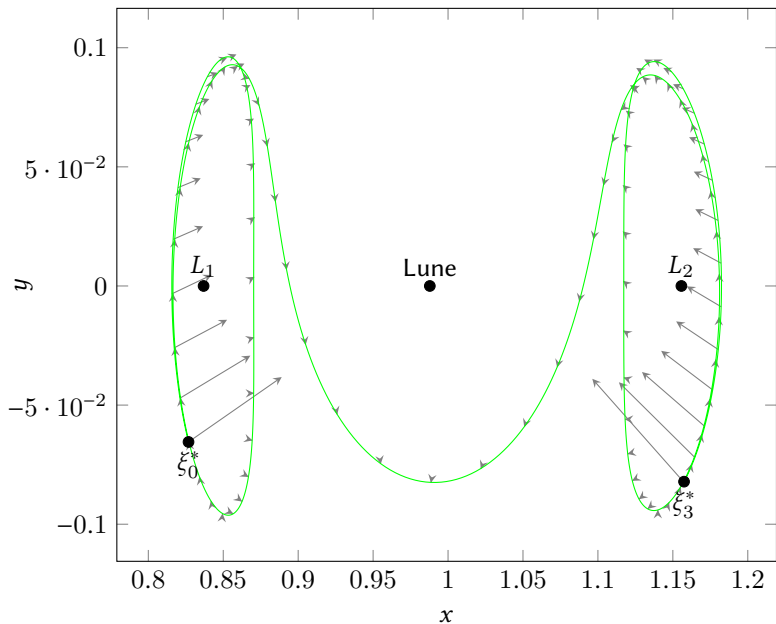
- Contrôle tout au long de la trajectoire



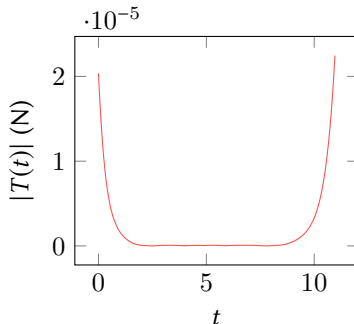
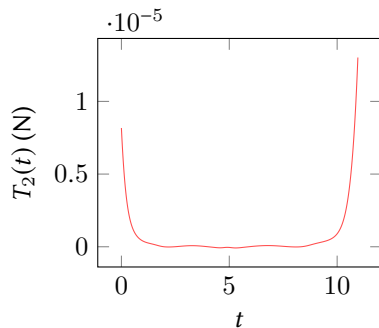
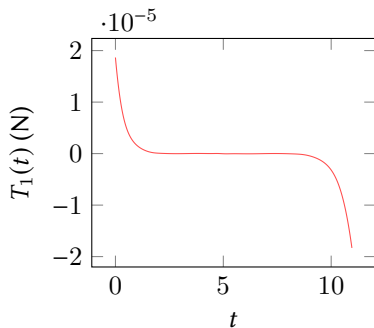
Optimisation des points terminaux

- Conditions de transversalité pour $x(0) \in L_{y_1}$ et $x(t_f) \in L_{y_2}$ sont :

$$\langle p(0), F_0(x(0)) \rangle = 0 \quad \text{et} \quad \langle p(t_f), F_0(x(t_f)) \rangle = 0$$



- Effet **turnpike** [Trélat, Zuazua 15]



Résultats numériques

$$\mathcal{P}_{\text{tot}} \begin{cases} C_{\text{tot}} = \min \int_0^{t_{\text{tot}}} \|u\|^2 dt, \\ \dot{x} = F_0(x) + \frac{\epsilon}{m} \sum_{i=1}^2 u_i F_i(x), \\ \dot{m} = -\beta_* \epsilon \|u\|, \\ \|u\| \leq 1, \\ x(0) = \xi_0^* \in \text{Lya}_1, \quad m(0) = m_0^*, \\ x(t_{\text{tot}}) = \xi_3^* \in \text{Lya}_2 \end{cases}$$

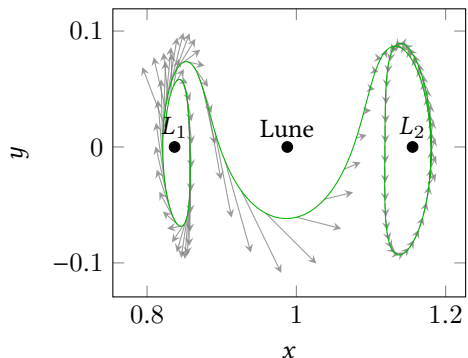
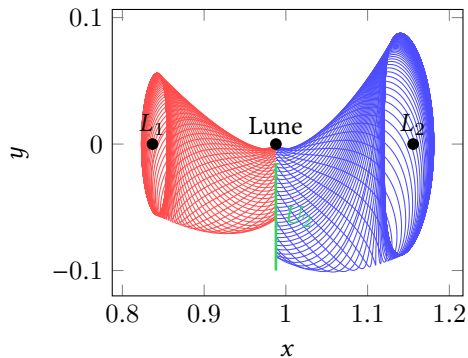
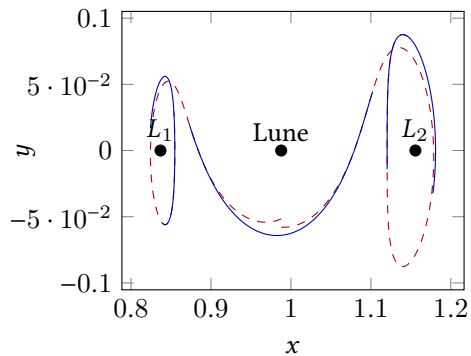
$$\mathcal{P}_g \begin{cases} C_g = \min \int_0^{t_f} \|u\|^2 dt, \\ \dot{x} = F_0(x) + \frac{\epsilon}{m} \sum_{i=1}^2 u_i F_i(x), \\ \dot{m} = -\beta_* \epsilon \|u\|, \\ \|u\| \leq 1, \\ x(0) \in \text{Lya}_1, \text{ et } x(t_f) \in \text{Lya}_2, \\ m(0) = m_0 \end{cases}$$

Masse initiale	Temps de transfert	T_{max}
1500 kg	10.961 39 or 47.67 jours	0.3 N

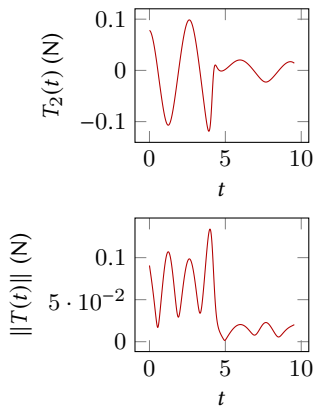
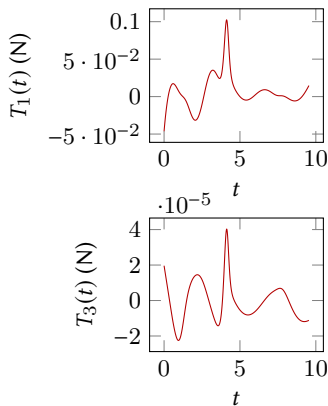
	C_*	Masse de fuel	Tps calc.
\mathcal{P}_{tot}	$1.065\,018\,7 \times 10^{-6}$	0.018 687 8 kg	26.912s
\mathcal{P}_g	$2.230\,596\,7 \times 10^{-9}$	$3.670\,958\,9 \times 10^{-4}$ kg	1min18.64s

HALO vers HALO (3D)

- ▶ **Orbite périodique non planaire : orbite de HALO**
- ▶ **Énergies différentes** en L_1 et L_2
- ▶ Pas d'hétérocline
- ▶ Initialisation en 5 parties
- ▶ Méthode rapide (~ 4 min pour l'ensemble des calculs)



HALO vers HALO (3D)



Masse initiale	Temps de transfert	T_{\max}	Tps calc.
1500 kg	9.543 645 446 282 8 or 41.50 jours	0.3 N	4.3 min
	C_{tot}^3	Masse cons.	
Halo vers Halo	0.004 619 126 477 355 13	7.415 872 590 999 92 kg	

Conclusion

- ▶ Compréhension des propriétés dynamiques du CR3BP

- ▶ Introduction de l'énergie comme paramètre de continuation pour les orbites périodiques

- ▶ Calcul des **variétés invariantes** (courants gravitationnels)

- ▶ Application à la construction de missions tests entre orbites périodiques autour des points de LAGRANGE

- ▶ Fournit un temps de transfert
- ▶ rapide et robuste, cas variés

- ▶ M. Chupin, T. Haberkorn, and E. Trélat. "Low-Thrust Lyapunov to Lyapunov and Halo to Halo Missions with L^2 -Minimization". In : ESAIM : M2AN (2016, online).

- ▶ Méthodes et algorithmes développés pour le transfert entre variétés invariantes articulant plusieurs continuations

- ▶ Méthodes rapides et efficaces

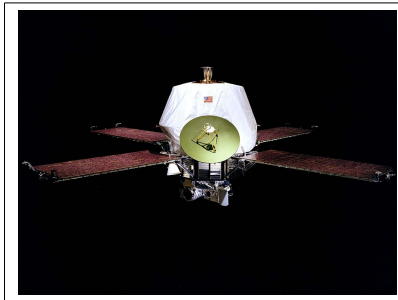
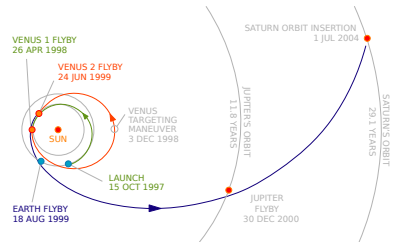
- ▶ Étude du paramètre de temps

- ▶ Application de nos méthodes à la construction de missions depuis la GEO

- ▶ **trajectoires admissibles rapidement obtenues**
- ▶ tir multiple non opérationnel
- ▶ **méthode hybride indirecte/directe**

Perspectives

- ▶ Couplage de problèmes des trois corps
- ▶ Conditions nécessaires et/ou suffisantes du second ordre (théorie des points conjugués)
- ▶ Instabilité des systèmes hamiltoniens, stabilité des variétés invariantes
- ▶ Prolonger l'étude de l'effet *turnpike*, résultats théoriques



- ▶ Amélioration des algorithmes
 - ▶ aide à la convergence $L^2 \rightarrow L^1$
 - ▶ amélioration de l'optimisation des points terminaux
 - ▶ amélioration de la méthode hybride pour permettre d'ajuster les temps sur les différentes parties



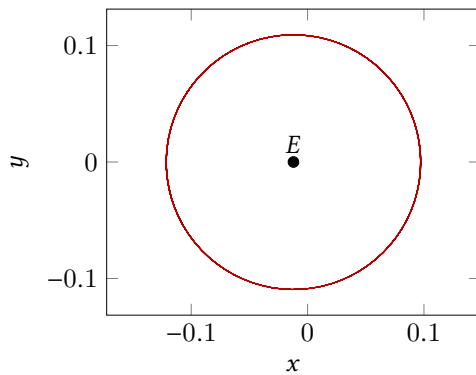
Merci

Départ : la GEO

- ▶ *geosynchronous equatorial orbit* (GEO), circulaire rayon 42 164 km

	Rayon	Vitesse	Période
unités SI	42 164 km	3.0746 km s^{-1}	23.934 461 2 jours
unités CRTBP	0.109 687 254 48	2.891 357 831 71	0.036 494 731 216 772 6

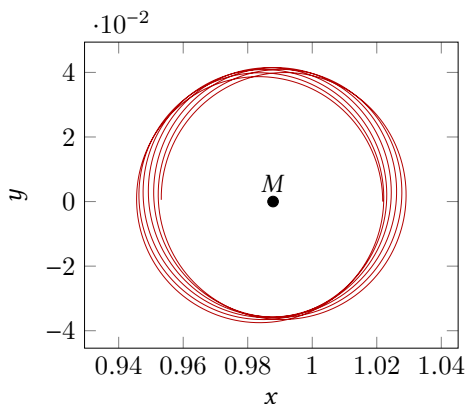
- ▶ Injection dans le CR3BP



- ▶ Orbite périodique autour de la lune : *lunar orbit* (LO)
- ▶ Mission SMART1, et [Daoud 11]

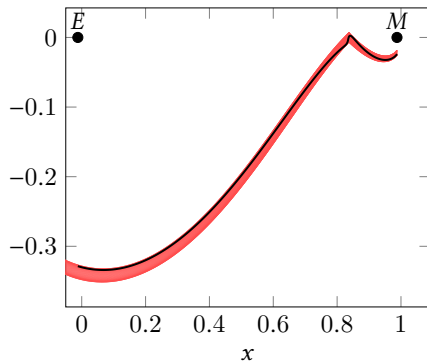
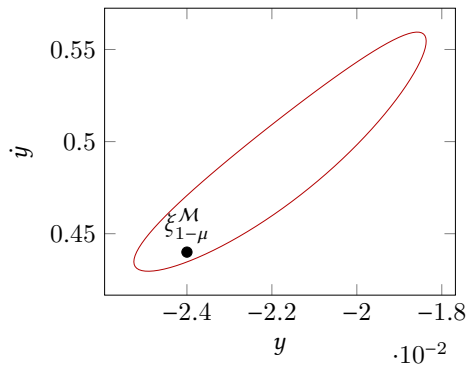
	Rayon	Vitesse	Période
unités IS	13 084 km	$0.612\,890\,340\,94\text{ kms}^{-1}$	9.246 086 041 jours
unités CR3BP	0.034	0.597 941 796 04	0.357 272 734 329 6

- ▶ Injection dans le CR3BP



Le courant gravitationnel

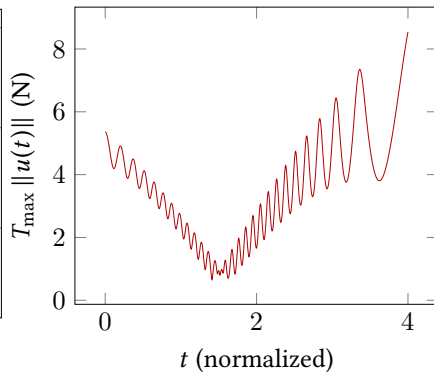
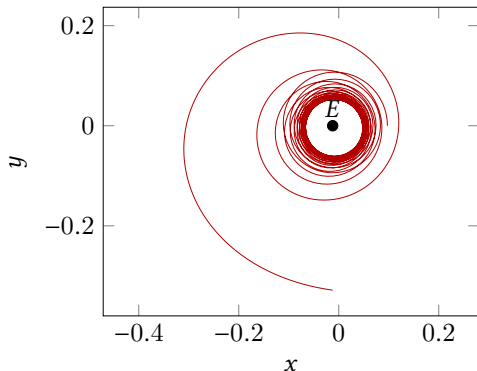
- ▶ Variétés invariantes stable et instable d'une orbite périodique autour de L_1
- ▶ Section en U_2 ($x = -\mu$), choix d'un point à l'intérieur
- ▶ $\mathcal{E}_{L_{y_1}} = -1.6001$



- ▶ Deux points aux extrémités : $\xi_{-\mu}^M$ et $\xi_{1-\mu}^M$ et un temps de transfert t_1

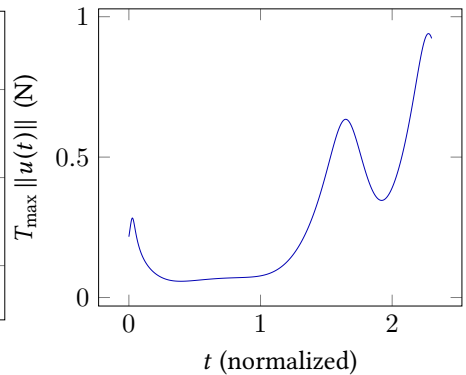
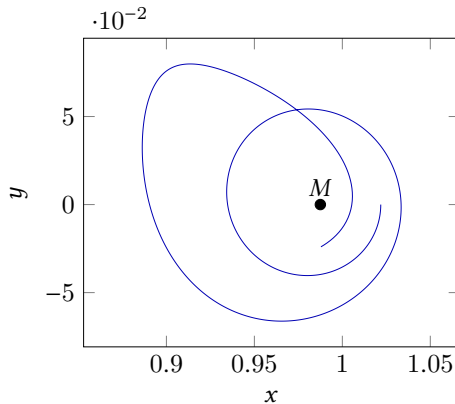
Vers la trajectoire libre

- ▶ Choix d'un temps de transfert : $t_0 = 4.0$
- ▶ Continuation sur l'état final



Temps de transfert	Tps calc.	Masse finale
4.0 or 17.397 jours	cpu 173.86s	$m(t_0) = 1313.274\ 585$ kg

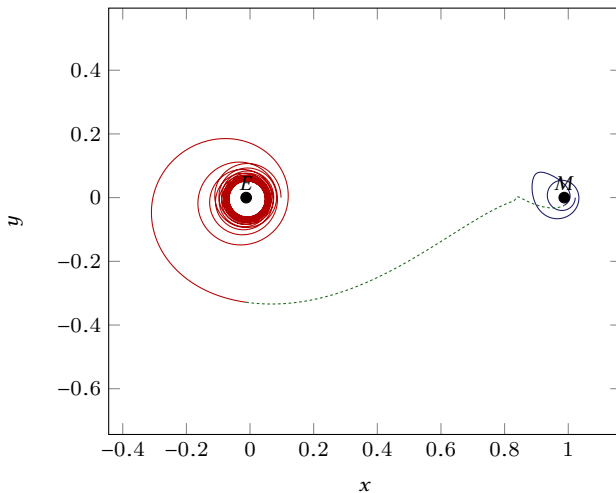
- ▶ Choix d'un temps de transfert : $t_2 = 2.3$
- ▶ Continuation sur l'état final



Temps de transfert	Tps calc.	Masse finale
2.3 or 10.003 jours	cpu 15.27s	$m(t_f) = 1301.228\ 912$ kg

Trajectoire admissible

- ▶ Temps de transfert $t_f = t_0 + t_1 + t_3$
- ▶ Gros gap d'énergies, de $-4.864\,220$ à -1.6001 pour la variété
- ▶ Calcul **très rapide** ~ 4 min



- ▶ Masses $m(0) = 1500$ kg et $m(t_f) = 1301.228\,912$ kg

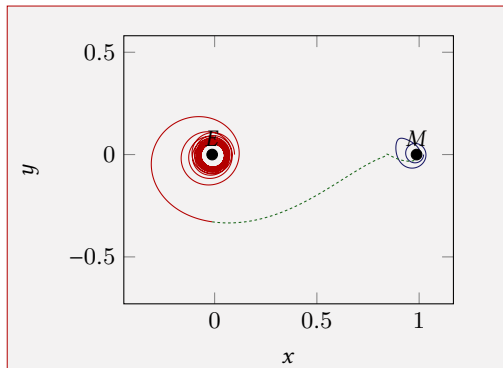
Méthode hybride

► Tir multiple ne fonctionne pas

$$\min_{X_1 \in \mathbb{R}^7, X_2 \in \mathbb{R}^7} \mathcal{V}_{\text{tot}}(X_1, X_2),$$

avec

$$\mathcal{V}_{\text{tot}}(X_1, X_2) = \mathcal{V}_0(t_0, X_0^*, X_1) + \mathcal{V}_1(t_1, X_1, X_2) + \mathcal{V}_2(t_2, X_2, \xi_f^*).$$



► Les \mathcal{V}_i , $i \in \llbracket 0, 2 \rrbracket$, sont les fonctions valeurs

$$\mathcal{P}_0 \begin{cases} C_0 = \min \int_0^{t_0} \|u\|^2 dt, \\ \dot{x} = F_0(x) + \frac{\epsilon}{m} \sum_{i=1}^2 u_i F_i(x), \\ \dot{m} = -\beta_* \epsilon \|u\|, \\ \|u\| \leq 1, \\ x(0) = \xi_0^*, \quad m(0) = m_0^* \\ x(t_0) = \xi_1, \quad m(t_0) = m_1. \end{cases}$$

$$\mathcal{P}_1 \begin{cases} C_1 = \min \int_{t_0}^{t_1} \|u\|^2 dt, \\ \dot{x} = F_0(x) + \frac{\epsilon}{m} \sum_{i=1}^2 u_i F_i(x), \\ \dot{m} = -\beta_* \epsilon \|u\|, \\ \|u\| \leq 1, \\ x(t_0) = \xi_1, \quad m(0) = m_1 \\ x(t_1) = \xi_2, \quad m(t_1) = m_2. \end{cases}$$

$$\mathcal{P}_2 \begin{cases} C_2 = \min \int_{t_1}^{t_2} \|u\|^2 dt, \\ \dot{x} = F_0(x) + \frac{\epsilon}{m} \sum_{i=1}^2 u_i F_i(x), \\ \dot{m} = -\beta_* \epsilon \|u\|, \\ \|u\| \leq 1, \\ x(t_1) = \xi_2, \quad m(t_1) = m_2 \\ x(t_2) = \xi_f^*. \end{cases}$$

Méthode hybride

- Descente de gradient :

$$\nabla_{X_1, X_2} \mathcal{V}_{\text{tot}}$$

- Donné par le **vecteur adjoint**

$$\frac{\partial \mathcal{V}_{\text{tot}}}{\partial \xi_1} = p_{\xi}^0(t_0) - p_{\xi}^1(t_0), \quad \frac{\partial \mathcal{V}_{\text{tot}}}{\partial \xi_2} = p_{\xi}^1(t_1) - p_{\xi}^2(t_1),$$

$$\frac{\partial \mathcal{V}_{\text{tot}}}{\partial m_1} = p_m^0(t_0) - p_m^1(t_0), \quad \frac{\partial \mathcal{V}_{\text{tot}}}{\partial m_2} = p_m^1(t_1) - p_m^2(t_1),$$



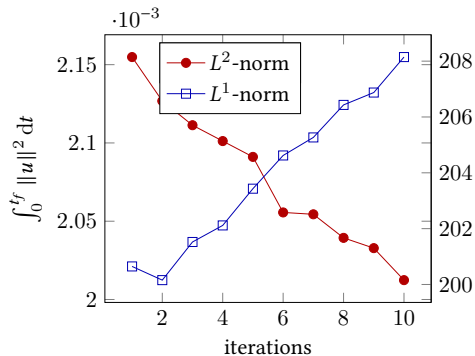
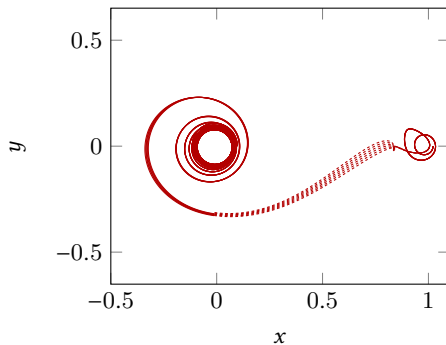
Gradient Bi-Level Optimization

Require : Initial X_1^0 and X_2^0 associated with P_0^0, P_1^0 and P_2^0 .

- 1 : Initialization of the gradient step : α *(e.g. 1×10^{-2})*
- 2 : Initialization of the precision : ϵ *(e.g. 1×10^{-8})*
- 3 : **while** $\|\nabla_{X_1, X_2} \mathcal{V}_T\| > \epsilon$ **do**
- 4 : $(X_1^{i+1}, X_2^{i+1}) \leftarrow (X_1^i, X_2^i) - \alpha \nabla_{X_1, X_2} \mathcal{V}_{\text{tot}}(X_1^i, X_2^i)$
- 5 : $(P_0^{i+1}, P_1^{i+1}, P_2^{i+1}) \leftarrow \text{IndirectSolve}$ *(Adjust the corresponding costates)*
- 6 : **end while**

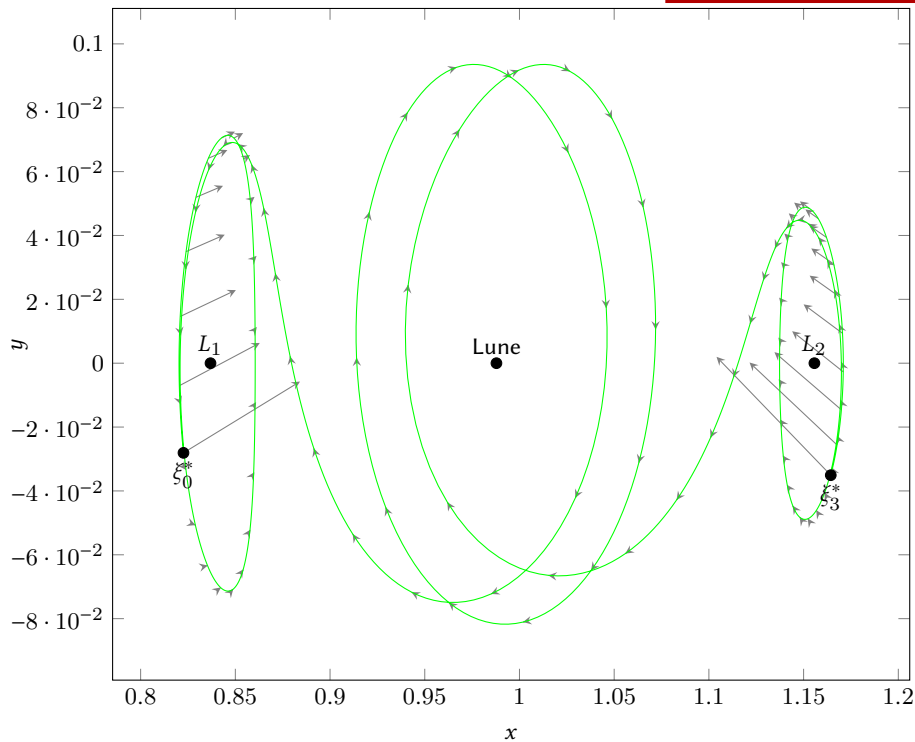
Méthode hybride, résultats

- ▶ Amélioration du coût L^2
- ▶ Ne converge pas
- ▶ Boîte de contrainte autour des nœuds



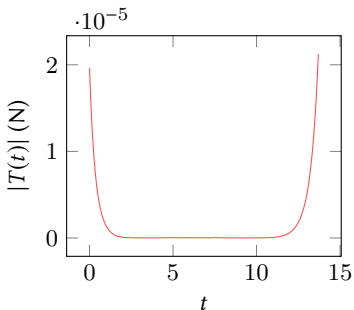
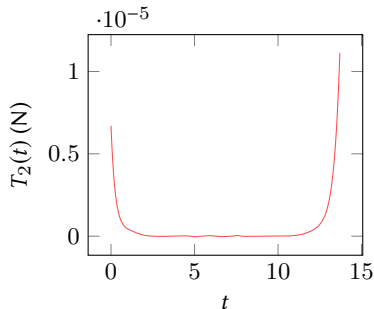
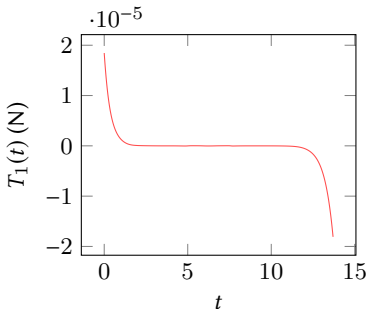
- ▶ Le coût L^1 augmente
- ▶ Gap d'énergie trop important

Mission à deux tours



Mission à deux tours

► Effet **turnpike**



Mission à deux tours

$$\mathcal{P}_{\text{tot}} \left\{ \begin{array}{l} C_{\text{tot}} = \min \int_0^{t_{\text{tot}}} \|u\|^2 dt, \\ \dot{x} = F_0(x) + \frac{\epsilon}{m} \sum_{i=1}^2 u_i F_i(x), \\ \dot{m} = -\beta_* \epsilon \|u\|, \\ \|u\| \leq 1, \\ x(0) = \xi_0^* \in \text{Lya}_1, \quad m(0) = m_0^*, \\ x(t_{\text{tot}}) = \xi_3^* \in \text{Lya}_2. \end{array} \right.$$

$$\mathcal{P}_g \left\{ \begin{array}{l} C_g = \min \int_0^{t_f} \|u\|^2 dt, \\ \dot{x} = F_0(x) + \frac{\epsilon}{m} \sum_{i=1}^2 u_i F_i(x), \\ \dot{m} = -\beta_* \epsilon \|u\|, \\ \|u\| \leq 1, \\ x(0) \in \text{Lya}_1, \text{ et } x(t_f) \in \text{Lya}_2, \\ m(0) = m_0. \end{array} \right.$$

Masse initiale	Temps de transfert	T_{max}
1500 kg	13.6996 or 59.582 jours	0.3 N

	C_*	Masse cons.	Tps calc.
\mathcal{P}_{tot}	$2.463\,890\,5 \times 10^{-8}$	0.003 013 1 kg	44.949s
\mathcal{P}_g	$1.969\,593\,4 \times 10^{-9}$	$3.359\,975\,0 \times 10^{-4}$ kg	2min54.79s

Régions de HILL

- ▶ Intégrale du mouvement :

$$E(X) = \frac{1}{2}(\dot{x}^2 + \dot{y}^2 + \dot{z}^2) + U(x, y, z)$$

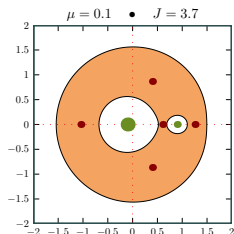
- ▶ Intégrale de JACOBI : $J(X) = -2E(X)$

- ▶ À énergie donnée e : $M(\mu, e) = \{X = (x, y, z, \dot{x}, \dot{y}, \dot{z}) | E(X) = e\}$

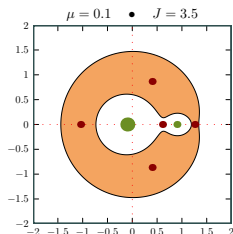
- ▶ Région de HILL :

$$H(\mu, e) = \{(x, y, z) | U(x, y, z) \leq e\}$$

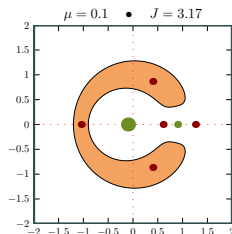
On note E_i l'énergie intégrale au point L_i : $E_1 < E_2 < E_3 < E_4 = E_5$



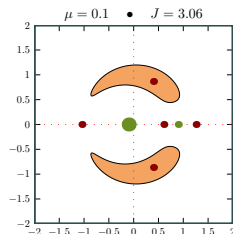
$E < E_1$



$E_1 < E < E_2$



$E_2 < E < E_3$



$E_3 < E < E_4$